

## ЛАЗЕРНО-ПЛАЗМЕННОЕ УСКОРЕНИЕ ЭЛЕКТРОНОВ

# Динамика прецессии спина релятивистского электрона при лазерно-плазменном ускорении

Д.В.Пугачёва, Н.Е.Андреев

*Разработана модель, позволяющая исследовать динамику прецессии спина релятивистского электрона в лазерно-плазменном ускорителе в зависимости от начальной энергии электрона и фазы его инжекции. Определены оптимальные параметры, обеспечивающие минимальную деполяризацию электрона в процессе ускорения.*

**Ключевые слова:** лазерно-плазменное ускорение, прецессия спина, динамика поляризации электрона.

### 1. Введение

Спин является фундаментальным свойством частицы наравне с ее массой и зарядом и существенным образом влияет на сечение взаимодействия пучков частиц в экспериментах по физике высоких энергий [1], которое зависит от поляризации, определяемой средним спином частиц пучка. В настоящее время на современных ускорителях исследования проводятся с использованием поляризованных пучков частиц, что позволяет, к примеру, проводить прецизионные тесты стандартной модели [1, 2]. Некоторые ускорители были для этого специальным образом модернизированы, другие изначально проектируются с учетом возможности использования источников поляризованных частиц. Была исследована динамика спина в ускорителях [3] и развиты методы управления степенью и направлением поляризации [4].

Максимальные градиенты ускорения, которые могут быть достигнуты в стандартных ускорителях и увеличение которых непосредственно влияет на размер и стоимость ускорителя, ограничиваются порогом пробоя материала стенки волновода. В 70-х годах прошлого века был предложен альтернативный способ ускорения электронов, основанный на использовании так называемого кильватерного поля, генерируемого в плазме под действием короткого и мощного лазерного импульса. Градиенты ускорения при таком способе на несколько порядков превышают градиенты полей в традиционных ускорителях [5]. Успешная экспериментальная демонстрация высокого градиента (100 ГэВ/м) [6] дала толчок к дальнейшему развитию данной области исследований. С усовершенствованием лазерных технологий и волноведущих структур различными группами достигаются все большие энергии частиц. К настоящему времени рекорд составляет 4 ГэВ [7], а теоретически могут быть достигнуты энергии, превышающие полученные в традиционных высокочастотных линейных ускорителях. Поэтому иссле-

дование, которое дает возможность определить, в каких пределах изменяется поляризация пучка электронов при лазерно-плазменном ускорении, и понять, от каких факторов она зависит, является весьма актуальным.

Цель настоящей работы – исследование динамики поляризации электрона в лазерно-плазменном ускорителе. Для этого была разработана модель и реализован комплекс программ для расчета прецессии спина электрона при его ускорении в поле кильватерной волны, генерируемой лазерным импульсом в плазменном канале. Проведен анализ динамики прецессии спина одного электрона в зависимости от фазы инжекции и начальной энергии. Определены параметры, при которых спин электрона минимально отклоняется от начального значения в течение всего процесса ускорения. Результаты самосогласованного численного моделирования сопоставляются с теоретическими оценками ускорения в постоянных полях.

### 2. Основные уравнения

При взаимодействии лазерного импульса с разреженной плазмой электроны под действием силы высокочастотного давления смещаются относительно ионов. Возникающие таким образом колебания электронной плотности приводят к образованию кильватерной волны, в поле которой возможно ускорение электронов до высокой энергии. В данной работе рассматривается ускорение электронов в кильватерном поле, образованном при прохождении короткого высокоинтенсивного лазерного импульса вдоль оси  $z$  цилиндрически симметричного плазменного канала с нарастающей в радиальном направлении концентрации плазмы. Численное моделирование нелинейных кильватерных волн проводилось с помощью кода LAPLAC [8], в основе которого лежит решение системы гидродинамических уравнений, описывающих динамику холодной, релятивистской, идеальной электронной жидкости, совместно с уравнениями Максвелла [9–11]:

$$\frac{\partial n}{\partial t} + \nabla(nv) = 0, \quad (1)$$

$$\frac{\partial p}{\partial t} = eE - mc^2 \nabla \gamma_p, \quad (2)$$

Д.В.Пугачёва, Н.Е.Андреев. Объединенный институт высоких температур РАН, Россия, 125412 Москва, ул. Ижорская, 13, стр.2; e-mail: sedyakina.d@gmail.com

Поступила в редакцию 8 октября 2015 г., после доработки – 17 ноября 2015 г.

$$\frac{\partial \mathbf{E}}{\partial t} = -4\pi n e \mathbf{v} - \frac{c^2}{e} \nabla \times \nabla \times \mathbf{p}, \quad (3)$$

$$\gamma_p = \sqrt{1 + \frac{p^2}{m^2 c^2} + \frac{|a|^2}{2}}, \quad \mathbf{v} = \frac{\mathbf{p}}{m \gamma_p}, \quad (4)$$

и уравнением, определяющим эволюцию нормированной комплексной огибающей лазерного импульса  $a = e E_L / (m c \omega)$  [8, 12]:

$$\left( \frac{2i\omega}{c^2} \frac{\partial}{\partial t} + 2ik \frac{\partial}{\partial z} - \Delta_{\perp} \right) a = \frac{\omega_{p0}}{c^2} \left( \frac{n}{N_0 \gamma_p} - 1 \right) a, \quad (5)$$

где  $c$  – скорость света;  $n$ ,  $\mathbf{p}$  и  $\mathbf{v}$  – концентрация, удельный импульс и скорость электронов плазмы;  $e$  и  $m$  – их заряд и масса;  $N_0$  – начальная концентрация электронов на оси плазменного канала;  $\omega_{p0} = \sqrt{4\pi e^2 N_0 / m}$  – плазменная частота;  $\omega$  и  $k = \omega/c$  – частота и волновое число лазерного излучения;  $\mathbf{E}$  – медленно меняющаяся на масштабах  $\omega^{-1}$  и  $k^{-1}$  напряженность электрического поля в плазме;  $\Delta_{\perp}$  – поперечная часть оператора Лапласа. Комплексная амплитуда лазерного поля  $E_L$  связана с высокочастотным электрическим полем лазерного импульса  $\vec{E}$  соотношением

$$\vec{E} = e_L \operatorname{Re} \{ E_L \exp[-i(\omega t - kz)] \}, \quad (6)$$

где  $e_L$  – вектор поляризации лазерного импульса.

Используя безразмерные переменные

$$\xi = k_{p0}(z - ct), \quad \zeta = k_{p0}z, \quad \boldsymbol{\rho} = k_{p0} \mathbf{r}_{\perp}, \quad (7)$$

где  $k_{p0} = \omega_{p0}/c$ , перепишем уравнение (5) с учетом цилиндрической симметрии в виде [8, 12]

$$\left[ 2i \frac{\partial}{\partial \xi} + \frac{k_{p0}}{k} \left( \Delta_{\perp \rho} + 2 \frac{\partial^2}{\partial \xi \partial \xi} \right) \right] a = \frac{k_{p0} v}{k \gamma_p} a, \quad (8)$$

где  $v = n/N_0$ ;

$$\Delta_{\perp \rho} = \frac{1}{\rho} \frac{\partial}{\partial \rho} \rho \frac{\partial}{\partial \rho}.$$

Нелинейный релятивистский отклик плазмы  $v/\gamma_p$  можно выразить через скалярную функцию (потенциал)  $\Phi = \gamma_p - p_z / (mc)$  [8, 12]:

$$\frac{v}{\gamma_p} = \frac{v_0 + \Delta_{\perp} \Phi}{1 + \Phi}, \quad (9)$$

где  $v_0 = n_0/N_0$ ;  $n_0 = n_0(\rho, \zeta)$  – начальное распределение электронов; кильватерный потенциал  $\Phi$  нормирован на  $mc^2/e$ . В квазистатическом приближении [13] в случае «широкого» (по сравнению с длиной  $1/k_{p0}$ ) лазерного импульса из системы (1)–(4) можно получить уравнение для потенциала [12]

$$\left[ (\Delta_{\perp \rho} - v_0) \frac{\partial^2}{\partial \xi^2} - \frac{\partial \ln v_0}{\partial \rho} \frac{\partial^3}{\partial \rho \partial \xi^2} + v_0 \Delta_{\perp \rho} \right] \Phi - \frac{v_0^2}{2} \left[ 1 - \frac{1 + |a|^2/2}{(1 + \Phi)^2} \right] = v_0 \Delta_{\perp \rho} \frac{|a|^2}{4}. \quad (10)$$

В безразмерных переменных уравнения движения электрона могут быть записаны в виде [8, 14]

$$\frac{dq_z}{d\tau} = F_z(\xi, \boldsymbol{\rho}), \quad (11)$$

$$\frac{d\mathbf{q}_{\perp}}{d\tau} = \mathbf{F}_r(\xi, \boldsymbol{\rho}), \quad (12)$$

$$\frac{d\xi}{d\tau} = \frac{q_z}{\gamma} - 1, \quad (13)$$

$$\frac{d\boldsymbol{\rho}}{d\tau} = \frac{\mathbf{q}_{\perp}}{\gamma}, \quad (14)$$

где силы, действующие на релятивистский электрон, движущийся вдоль оси  $z$  со скоростью, близкой к скорости света, выражаются через потенциал  $\Phi$  следующим образом [12]:

$$F_z = E_z = \frac{\partial \Phi}{\partial \xi}, \quad F_r = E_r - B_{\phi} = \frac{\partial \Phi}{\partial \rho}. \quad (15)$$

Здесь компоненты электрического ( $\mathbf{E}$ ) и магнитного ( $\mathbf{B}$ ) полей нормированы на  $mc\omega_{p0}/e$ ;  $\mathbf{F}_r = \{F_x, F_y\} = F_r \{\cos \phi, \sin \phi\}$ ;  $q_z$  и  $\mathbf{q}_{\perp} = \{q_x, q_y\}$  – продольная и поперечные компоненты безразмерного импульса электрона  $\mathbf{q} = \mathbf{p}/(mc)$ ;  $\phi = \arctan(y/x)$  – угол, характеризующий положение электрона в плоскости  $xy$ ;  $\tau = \omega_{p0}t$  – безразмерное время;  $\gamma = \sqrt{1 + q_z^2 + q_{\perp}^2}$  – релятивистский фактор электрона.

Уравнение, описывающее прецессию спина релятивистского электрона,

$$\frac{ds}{dt} = -\frac{e}{mc} \left[ \left( a_m + \frac{1}{\gamma} \right) \mathbf{B} - \frac{a_m \gamma}{\gamma + 1} (\boldsymbol{\beta} \mathbf{B}) \boldsymbol{\beta} - \left( a_m + \frac{1}{\gamma + 1} \right) \boldsymbol{\beta} \times \mathbf{E} \right] \times \mathbf{s}, \quad (16)$$

было получено В.Баргманом, Л.Мишелем и В.Телегди в 1959 году [15] и в литературе упоминается как Thomas–ВМТ-уравнение. В этом уравнении  $a_m \approx 0.0011614$  – аномальный магнитный момент электрона,  $\boldsymbol{\beta} = \mathbf{v}_e/c$  – нормированная скорость электрона. Необходимо подчеркнуть, что в (16) спин  $\mathbf{s}$  определен в системе покоя частицы, а все остальные величины, включая поля  $\mathbf{E}$  и  $\mathbf{B}$ , заданы в лабораторной системе отсчета. Кроме того, предполагается, что спин не влияет на траекторию частицы.

На основании уравнения (16), пользуясь тем, что магнитное поле в цилиндрически симметричном плазменном канале является азимутальным,  $\mathbf{B} = B_{\phi} \mathbf{e}_{\phi}$ , а электрическое поле содержит только продольную и поперечную компоненты,  $\mathbf{E} = E_r \mathbf{e}_r + E_z \mathbf{e}_z$ , запишем в безразмерных величинах (7) в декартовых координатах систему дифференциальных уравнений, описывающих прецессию спина электрона, скорость которого вдоль оси плазменного канала близка к скорости света, а поперечная составляющая скорости мала по сравнению со скоростью света:

$$\frac{ds_x}{d\tau} = s_z \left( a_m + \frac{1}{\gamma} \right) F_r \cos \phi, \quad (17)$$

$$\frac{ds_y}{d\tau} = s_z \left( a_m + \frac{1}{\gamma} \right) F_r \sin \phi, \quad (18)$$

$$\frac{ds_z}{d\tau} = -\left(a_m + \frac{1}{\gamma}\right)F_r(s_x \cos \phi + s_y \sin \phi), \quad (19)$$

где с учетом  $\beta_z \approx 1$  и  $\gamma = 1/\sqrt{1-\beta^2} \gg 1$  предполагается, что  $a_m + 1/(\gamma + 1) \approx a_m + 1/\gamma$ . Таким образом, соотношения (8), (10)–(15), (17)–(19) представляют собой замкнутую систему уравнений, описывающую процесс ускорения поляризованного электрона в поле кильватерной волны, генерируемой лазерным импульсом в плазменном канале.

### 3. Динамика прецессии спина релятивистских электронов

В настоящей работе моделирование динамики электрона и прецессии его спина проводилось путем численного решения уравнений (11)–(14) и (17)–(19) в безразмерных координатах  $\zeta, \xi, \rho$ :

$$\frac{dq_z}{d\zeta} = \frac{1}{\beta_z} \frac{\partial \Phi}{\partial \xi}, \quad \frac{dq_x}{d\zeta} = \frac{1}{\beta_z} \frac{\partial \Phi}{\partial \rho} \cos \phi, \quad (20)$$

$$\frac{dq_y}{d\zeta} = \frac{1}{\beta_z} \frac{\partial \Phi}{\partial \rho} \sin \phi,$$

$$\frac{d\xi}{d\zeta} = 1 - \frac{1}{\beta_z}, \quad \frac{dx}{d\zeta} = \frac{q_x}{q_z}, \quad \frac{dy}{d\zeta} = \frac{q_y}{q_z}, \quad (21)$$

$$\frac{ds_x}{d\zeta} = \frac{s_z}{\beta_z} \left(a_m + \frac{1}{\gamma}\right) \frac{\partial \Phi}{\partial \rho} \cos \phi, \quad (22)$$

$$\frac{ds_y}{d\zeta} = \frac{s_z}{\beta_z} \left(a_m + \frac{1}{\gamma}\right) \frac{\partial \Phi}{\partial \rho} \sin \phi, \quad (23)$$

$$\frac{ds_z}{d\zeta} = -\frac{1}{\beta_z} \left(a_m + \frac{1}{\gamma}\right) \frac{\partial \Phi}{\partial \rho} (s_x \cos \phi + s_y \sin \phi), \quad (24)$$

где  $\beta_z = q_z/\gamma$ . Силы, действующие на ускоряемый электрон, самосогласованно рассчитывались с помощью уравнений (8), (10) и (15) в коде LAPLAC [8], а в случае постоянных полей принимали заданные значения.

#### 3.1. Результаты моделирования в постоянных полях

Для получения приближенных аналитических результатов, описывающих прецессию спина ускоряемого электрона, и тестирования численной реализации модели рассмотрим движение релятивистского электрона под действием постоянного ускоряющего поля  $\mathbf{E}_{ac}$  и линейной фокусирующей силы  $F_r$ :

$$F_z = E_{ac}, \quad F_r = \alpha |x_{\perp}|, \quad (25)$$

где вектор  $x_{\perp} = \{x, y\}$  определяет положение электрона в плоскости, перпендикулярной направлению его ускорения, и нормирован на  $k_{p0}$ . В предположении, что поперечная компонента скорости электрона много меньше скорости света, гамма-фактор (т.е. энергия) ускоряемого электрона линейно растет со временем:  $\gamma = \gamma_0 + E_{ac}\tau$ , где  $\gamma_0 = \gamma(\tau = 0)$ , а уравнение его осцилляций по поперечной координате  $x_{\perp}$  имеет вид [16]

$$(\gamma_0 + E_{ac}\tau)\ddot{x}_{\perp}(\tau) + \gamma_0\dot{x}_{\perp}(\tau) + \alpha x_{\perp}(\tau) = 0. \quad (26)$$

Аналитическое решение этого уравнения может быть получено в приближении  $\sqrt{|\alpha|\gamma_0}/E_{ac} \gg 1$  [17]:

$$x_{\perp}(\tau) = x_{\perp 0} \left[ \frac{\gamma_0}{\gamma(\tau)} \right]^{1/4} \cos \left[ \frac{2\sqrt{|\alpha|}}{E_{ac}} (\sqrt{\gamma} - \sqrt{\gamma_0}) \right] + q_{\perp 0} \frac{1}{(\alpha^2 \gamma \gamma_0)^{1/4}} \sin \left[ \frac{2\sqrt{|\alpha|}}{E_{ac}} (\sqrt{\gamma} - \sqrt{\gamma_0}) \right], \quad (27)$$

где  $x_{\perp 0} = \{x_0, y_0\}$  и  $q_{\perp 0}$  – начальные положение и импульс электрона соответственно.

Система уравнений (17)–(19) прецессии спина тестовой частицы в цилиндрической системе координат, привязанной к начальному положению электрона, выглядит следующим образом [17]:

$$\frac{ds_r}{d\tau} = s_z \left(a_m + \frac{1}{\gamma}\right) F_r' + s_{\phi} \dot{\phi}, \quad (28)$$

$$\frac{ds_z}{d\tau} = -s_r \left(a_m + \frac{1}{\gamma}\right) F_r', \quad (29)$$

$$\frac{ds_{\phi}}{d\tau} = -s_r \dot{\phi}, \quad (30)$$

где  $\dot{\phi} \equiv d\phi/d\tau$ ;  $F_r' = F_r(|x_0| \cos \phi + |y_0| \sin \phi) / \sqrt{x_0^2 + y_0^2}$ ; спин  $s$  нормирован на свою абсолютную величину, и поэтому любая его проекция может принимать значения от  $-1$  до  $1$ ;  $s_r^2 + s_{\phi}^2 + s_z^2 = 1$ . При выполнении условия  $|x_{\perp 0}| \sqrt{|\alpha|\gamma_0} \gg |q_{\perp 0}|$  траекторию электрона можно считать практически плоской, следовательно  $ds_{\phi}/d\tau \ll 1$  и компонента спина  $s_{\phi}$  сохраняется. В этом случае выражение, описывающее изменение  $s_z$ -компоненты спина и следующее из системы (28)–(30), может быть представлено в виде

$$s_z(\tau) = \sqrt{1 - s_{\phi 0}^2} \sin \left[ -\int_0^{\tau} \left(a_m + \frac{1}{\gamma}\right) F_r' dt + \arctan \left( \frac{s_{z0}}{s_{r0}} \right) \right]. \quad (31)$$

С использованием малого параметра

$$\frac{3E_{ac}}{4a_m \sqrt{\alpha} (\gamma \gamma_0^5)^{1/4}} \ll 1 \quad (32)$$

при вычислении интеграла в (31) можно получить аналитическую формулу для динамики компоненты спина  $s_z(\tau)$  [17]

$$s_z(\gamma(\tau)) = \sqrt{1 - s_{\phi 0}^2} \sin \left[ -r_0 \Omega(\tau) + \arctan \left( \frac{s_{z0}}{s_{r0}} \right) \right], \quad (33)$$

где  $r_0 = (x_0|x_0| + y_0|y_0|) / \sqrt{x_0^2 + y_0^2}$ ;

$$\Omega(\tau) = (1 + a_m \gamma) \left( \frac{\alpha^2 \gamma_0}{\gamma^3} \right)^{1/4} \sin \left[ \frac{2\sqrt{|\alpha|}}{E_{ac}} (\sqrt{\gamma} - \sqrt{\gamma_0}) \right].$$

Условие (32) при заданных постоянных ускоряющих и фокусирующих полях выполняется тем лучше, чем больше  $\gamma$  и  $\gamma_0$ . Для аналитической оценки прецессии при небольших  $\gamma_0$  и  $\gamma$ , когда параметр (32) становится порядка единицы, необходимо учитывать дополнительные слагаемые в разложении интеграла (31), что приводит к выражению

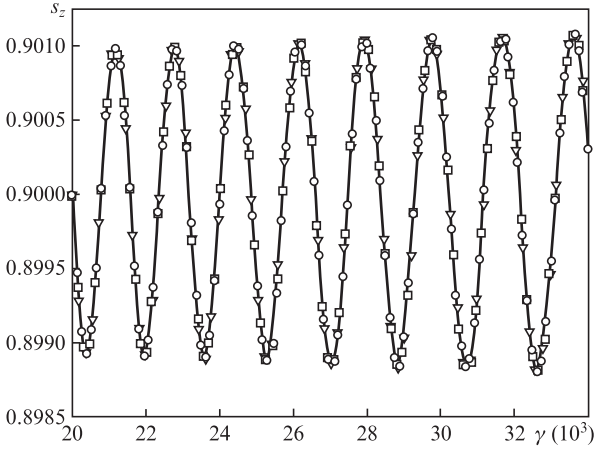


Рис.1. Динамика прецессии  $s_z$ -компоненты спина электрона, движущегося под действием сил (25) при  $E_{ac} = 0.47492$ ,  $\alpha = -0.07544$  и  $\gamma_0 = 2 \times 10^4$ , в зависимости от гамма-фактора электрона  $\gamma \approx \sqrt{1 + q^2}$ : результаты численного решения уравнений (20)–(24) ( $\Delta$ ), а также расчета по формулам (33) ( $\circ$ ) и (34) ( $\square$ ) при тех же параметрах.

$$s_z(\gamma(\tau)) = \sqrt{1 - s_{\phi 0}^2} \sin \left[ \Lambda - \frac{3r_0 E_{ac}}{4\gamma_0} \times \left( 1 - \left( \frac{\gamma_0}{\gamma} \right)^{5/4} \cos \left[ \frac{2\sqrt{|\alpha|}}{E_{ac}} (\sqrt{\gamma} - \sqrt{\gamma_0}) \right] \right) + \arctan \left( \frac{s_{z0}}{s_{\phi 0}} \right) \right], \quad (34)$$

где

$$\Lambda = -r_0(1 + a_m\gamma) \left( \frac{\alpha^2 \gamma_0}{\gamma^3} \right)^{1/4} \sin \left[ \frac{2\sqrt{|\alpha|}}{E_{ac}} (\sqrt{\gamma} - \sqrt{\gamma_0}) \right].$$

Для тестирования численной реализации модели (20)–(24) были проведены расчеты для ускоряющего поля  $E_{ac} = 0.47492$  и линейной фокусирующей силы с  $\alpha = -0.07544$ . Начальные значения положения электрона  $x_{10} = \{0.15, 0.2\}$ , а также его спина в декартовых координатах  $s_0 = \{0.27941, -0.33456, 0.9\}$  соответствуют радиальной компоненте спина  $s_{r0} = 0.1$  в цилиндрической системе координат, привязанной к начальному положению электрона. На рис.1 представлены результаты численного решения уравнений (20)–(24) для электрона с  $\gamma_0 = 2 \times 10^4$  по сравнению со значениями, полученными по формулам (33) и (34) при тех же параметрах. Видно, что для заданных начальных условий результаты моделирования практически совпадают с аналитическими значениями, что позволяет сделать вывод о корректности численной реализации уравнений (20)–(24).

Следует отметить, что формула (34) в пределе большого  $\gamma_0$  переходит в (33) (рис.1). Различия между значениями, даваемыми этими аналитическими формулами, иллюстрирует рис.2 для электрона с  $\gamma_0 = 132$ . Заметим, что результаты моделирования при этих параметрах хорошо согласуются с результатами расчета по формуле (34).

### 3.2. Результаты самосогласованного численного моделирования прецессии спина электрона при лазерно-плазменном ускорении

Изучим динамику поляризации спина электрона, который ускоряется в кильватерной волне, генерируемой лазерным импульсом при его распространении вдоль оси  $z$  цилиндрически симметричного плазменного канала с параболическим профилем концентрации электронов в перпендикулярной оси  $z$  плоскости  $xy$  [10]:

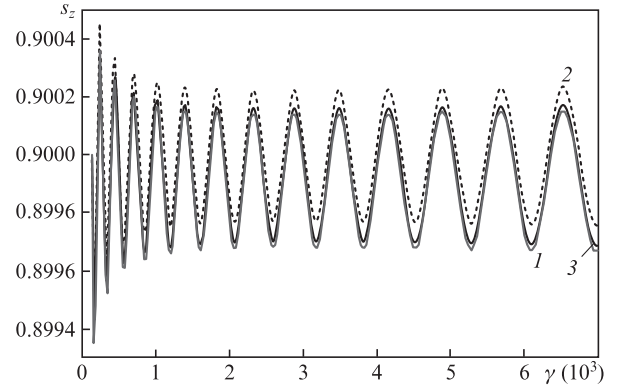


Рис.2. То же, что и на рис.1, но для  $\gamma_0 = 132$ : результаты численного решения уравнений (20)–(24) (1), а также расчета по формулам (33) (2) и (34) (3).

$$n_0 = N_0 \left( 1 + \frac{r^2}{R_{ch}^2} \right), \quad (35)$$

где  $R_{ch}$  — характерный радиальный размер канала;  $N_0 = 10^{17} \text{ см}^{-3}$ , что соответствует волновому числу плазменной волны  $k_{p0} = 0.0595 \text{ мкм}^{-1}$ . Использование плазменного канала позволяет избежать дифракционного уширения лазерного импульса и обеспечивает его распространение на расстояние, многократно превышающее рэлеевскую длину. Эволюция лазерного импульса и генерация кильватерного поля были описаны с помощью численного решения уравнений (8) и (10) в коде LAPLAC [8] для канала с  $R_{ch} = 305.1 \text{ мкм}$  ( $k_{p0}R_{ch} \approx 18 > \rho_m$ , где  $\rho_m = 1/2(k_{p0}r_L)^2 \approx 14$  — согласованный с импульсом в линейном приближении радиус канала) и гауссова импульса, имеющего на входе в канал огибающую

$$a(\xi, \rho, \zeta=0) = a_0 \exp \left[ -\frac{\rho^2}{\rho_L^2} - \left( \frac{\xi - \xi_{L0}}{\xi_L} \right)^2 \right] \quad (36)$$

с  $a_0 = 1.414$ ,  $\rho_L = 5.303$ ,  $\xi_L = 10$ ,  $\xi_{L0} = 7$ , что соответствует следующим размерным характеристикам лазерного импульса: радиус фокального пятна  $r_L = \rho_L k_{p0}^{-1} = 89.13 \text{ мкм}$ , длительность  $t_L = \xi_L \omega_{p0}^{-1} = 56 \text{ фс}$ , интенсивность  $I_L = 4.28 \times 10^{18} \text{ Вт/см}^2$  и мощность 534 ТВт при длине волны лазерного излучения  $\lambda = 0.8 \text{ мкм}$ .

Деполаризация электрона исследовалась в зависимости от его начальной энергии  $\varepsilon_0$ , положения  $x_{10}$  и фазы  $\xi_0$  в момент инжекции. Рассматривались два предельных случая: 1)  $\varepsilon_0 = \varepsilon_{res}$ , где  $\varepsilon_{res} = \gamma_{ph} m c^2$  — резонансная энергия, при которой скорость электрона в момент инжекции совпадает с фазовой скоростью кильватерной волны  $V_{ph}$ :  $\gamma_{ph} = 1/\sqrt{1 - V_{ph}^2/c^2} \approx \omega/\omega_{p0}$ , и 2)  $\varepsilon_0 \gg \varepsilon_{res}$ . Длина ускорения  $L_{ac}$  составляла 50.42 см для всех случаев ( $L_{ac} < L_{ph}$ , где  $L_{ph} = 2\pi\gamma_{ph}^2 k_{p0}^{-1} \approx 184 \text{ см}$  — длина дефазировки электрона относительно кильватерной волны). На рис.3,а и б представлены огибающая лазерного импульса  $a$ , потенциал  $\Phi$  и ускоряющая сила  $F_z$  в начале ( $z = 0$ ) и в конце ( $z = 50.42 \text{ см}$ ) ускорения, а также схематично обозначено положение электрона с  $\xi_0 = 3.2$  в момент инжекции. На рис.4 показаны изолинии фокусирующей силы  $F_r$  в плоскости  $\rho\xi$  в начале и в конце ускорения, иллюстрирующие изменение сил, действующих на электрон в процессе ускорения. Из рис.3 и 4 видно, что силы, действующие на ускоряемый электрон, не являются постоянными вследствие как нелинейной эволюции лазерного импульса при его рас-

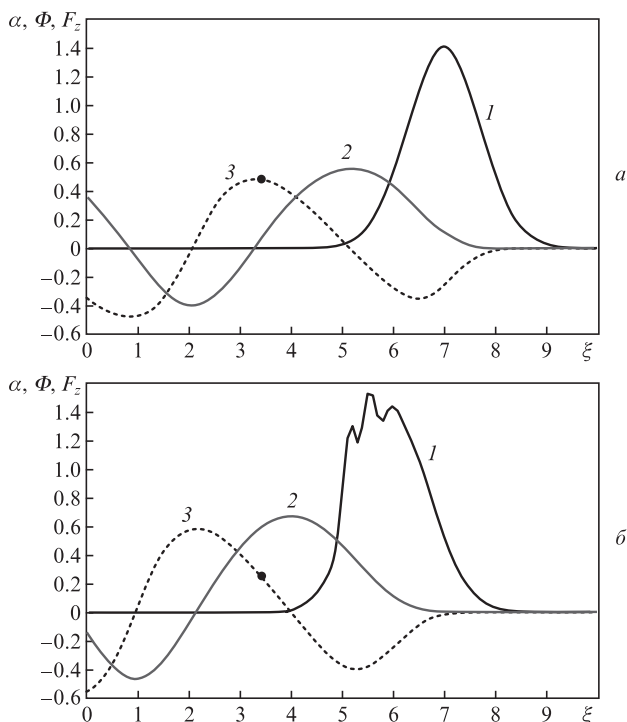


Рис.3. Распределение безразмерных огибающей лазерного импульса  $a$  (1), кильватерного потенциала  $\Phi$  (2) и ускоряющей электрона силы  $F_z$  (3) на оси плазменного канала в зависимости от  $\xi$  в начале ( $z = 0$ ) (a) и в конце ( $z = 50.42$  см) (б) ускорения электрона. Черная точка соответствует положению электрона с  $\xi_0 = 3.2$ .

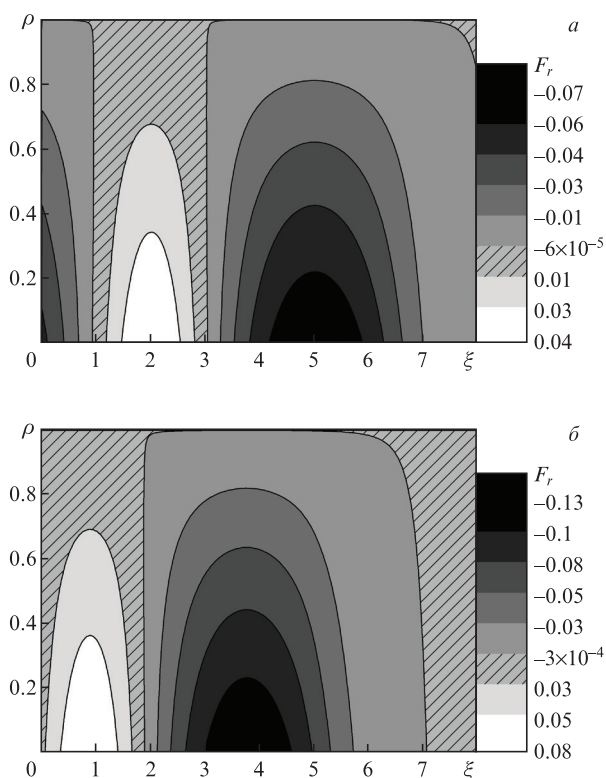


Рис.4. Двумерное распределение безразмерной фокусирующей силы  $F_r(\rho, \xi)$  в начале (a) и в конце (б) ускорения электрона.

пространении в плазменном канале, так и смещения электрона относительно кильватерной волны.

Влияние непостоянства сил, действующих на ускоряемый электрон, на прецессию его спина рассмотрим в случае

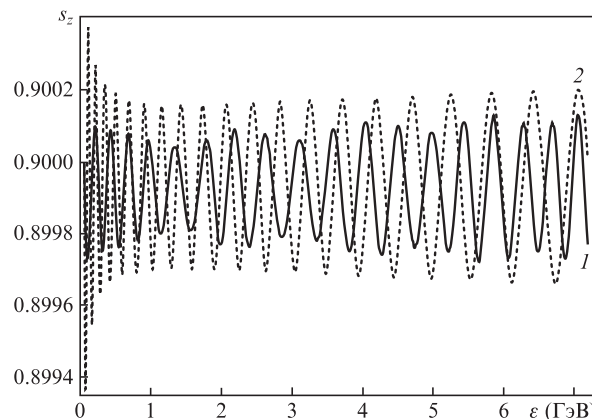


Рис.5. Эволюция продольной компоненты спина электрона с  $\gamma_0 = \gamma_{ph} = 132$ , инжектированного в точку  $\xi_0 = 3.2$ , в зависимости от энергии электрона  $\epsilon = \gamma(\tau)mc^2$ : результаты численного расчета для полей на рис.3 и 4 (1), и расчета по формуле (34) для средних значений полей, действующих на частицу в процессе ускорения (2).

инжекции электрона с резонансной энергией  $\gamma_0 = \gamma_{ph} = 132$  в точку  $\xi_0 = 3.2$  на расстоянии  $r_0 = 0.25$  от оси  $z$  с  $x_{\perp 0} = \{0.15, 0.2\}$  и соответствующим этому положению  $\phi_0 = 0.927$  при начальной ориентации спина  $s = \{0.27941, -33456, 0.9\}$ . Сравним в этом случае прецессию компоненты  $s_z$ , заданную аналитической формулой (34) для среднего значения сил, действующих на частицу в процессе ускорения, с результатами полномасштабного моделирования с учетом динамики лазерного импульса и возбуждаемых им кильватерных полей. Усреднение сил, действующих на электрон с координатами  $r_{\perp e}, z_e$ , было проведено по всей длине ускорения  $L_{ac} = 50.42$  см: для ускоряющей силы

$$F_z^{av} = \frac{1}{L_{ac}} \int_{z=0}^{L_{ac}} F_z(r_{\perp e}, z_e) dz;$$

для фокусирующей силы  $F_r^{av} = \alpha^{av} \rho_{\perp}$ , где  $\alpha^{av}$  есть усредненное  $\alpha$ , полученное путем линейной аппроксимации силы  $F_r(r_{\perp}, z_e)$  вблизи оси канала. Данные рис.5 демонстрируют, что динамика прецессии продольной компоненты спина электрона в постоянных полях (формула (34)) существенно отличается от эволюции прецессии спина в динамических полях кильватерной волны (уравнения (8), (10), (15), (20)–(24)); это указывает на необходимость использования численных расчетов для исследования деполаризации электрона при лазерно-плазменном ускорении.

Приближенная аналитическая формула, описывающая изменение деполаризации электрона  $\Delta s(t) = s(t) - s_0$ , движущегося под действием постоянных сил (25), может быть получена из формулы (33) с учетом равенства  $s_z^2 + s_{\phi}^2 + s_r^2 = 1$ . Поскольку при  $\alpha^2 \gamma_0 \ll 10^{12}$  переменная  $\Omega(\tau)$  много меньше единицы, выражение для продольной компоненты спина  $s_z$  можно представить в виде разложения по степеням  $\Omega(\tau)$  и с точностью, например, до членов порядка  $\Omega^2$  записать

$$s_z(\tau) = s_{z0} + s_{r0} \Omega(\tau) - \frac{s_{z0} r_0^2 \Omega^2(\tau)}{2} + O(\Omega^3(\tau)). \quad (37)$$

Это выражение позволяет получить следующее соотношение для огибающей деполаризации в зависимости от  $\gamma(t) = \gamma_0 + E_{ac} \tau$ :

$$|\Delta s(\tau)|_{env} = a_m r_0 \sqrt{1 - s_{\phi 0}^2} [\alpha^2 \gamma_0 (\gamma_0 + E_{ac} \tau)]^{1/4}. \quad (38)$$

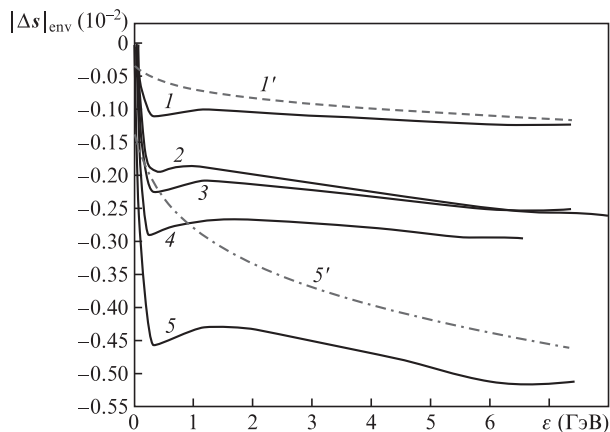


Рис.6. Огибающая деполаризации электрона с начальной энергией  $\epsilon_0 = 67.5$  МэВ как функция его энергии  $\epsilon = \gamma(\tau)mc^2$  при  $r_0 = 0.125$ ,  $\xi_0 = 3.2$  (1),  $r_0 = 0.25$ ,  $\xi_0 = 3.0$  (2),  $r_0 = 0.25$ ,  $\xi_0 = 3.2$  (3),  $r_0 = 0.25$ ,  $\xi_0 = 3.4$  (4) и  $r_0 = 0.5$ ,  $\xi_0 = 3.2$  (5). Кривые 1' и 5' – расчет по формуле (38) для параметров, отвечающих кривым 1 и 5 соответственно.

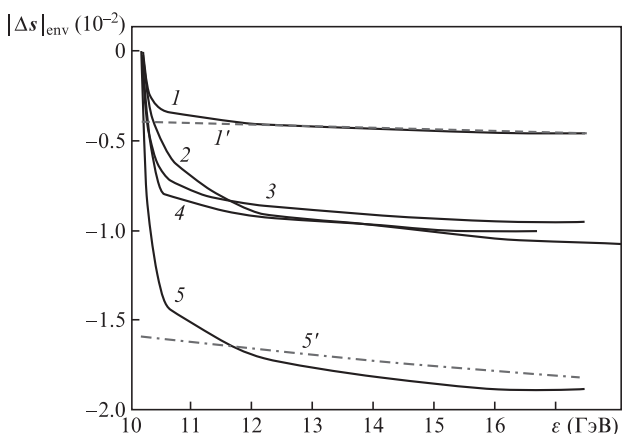


Рис.7. То же, что и на рис.6, но для  $\epsilon_0 = 10.2$  ГэВ.

Из (38) следует, что амплитуда деполаризации прямо пропорциональна начальному радиальному смещению электрона  $r_0$ , а в конце ускорения, когда  $\tau \gg \gamma_0/E_{ac}$ , деполаризация электронов с равными  $\gamma_0$  и  $r_0$  тем меньше, чем меньше параметр  $\alpha^2 E_{ac}$ .

Серия расчетов была проведена для двух энергий инжекции электрона. На рис.6 представлены огибающие деполаризации для электрона с начальной энергией 67.5 МэВ, которая соответствует  $\gamma_0 = \gamma_{ph} = 132$ , при его различных исходных положениях  $r_0$  и фазах  $\xi_0$ , а на рис.7 – огибающие деполаризации для электрона с начальной энергией 10.2 ГэВ при тех же значениях фазы и радиального положения инжектируемого электрона. Рост деполаризации электрона в зависимости от его начального смещения относительно оси ускоряющего канала  $r_0$ , отчетливо видимый при сравнении кривых 1 и 5 на рис.6 и 7, подтверждает справедливость приближенной аналитической зависимости (38) для усредненных сил, действующих на электрон на всей длине ускорения.

Особый интерес представляет конечная величина деполаризации электрона с различными фазами инжекции  $\xi_0$ . Данные рис.3 и 4 демонстрируют, что максимальная

ускоряющая сила действует на электрон с  $\xi_0 = 3.0$ , а наибольшая фокусирующая сила – на электрон с  $\xi_0 = 3.4$ . Вследствие этого минимальная величина деполаризации (при одинаковом начальном радиальном смещении  $r_0$ ) в конечном счете достигается для электрона с  $\xi_0 = 3.2$ , что и показывают результаты моделирования, приведенные на рис.6 и 7 (см. кривые 2–4).

#### 4. Заключение

Разработанная и протестированная в настоящей работе модель позволила проанализировать динамику прецессии спина электрона, который ускоряется в полях кильватерной волны, генерируемой мощным фемтосекундным лазерным импульсом в плазменном канале, в зависимости от начальных энергии электрона и фазы его инжекции. Показано, что величина деполаризации электрона прямо пропорциональна расстоянию между его положением при инжекции и осью плазменного канала, а минимальная деполаризация достигается при инжекции электрона в окрестность максимума ускоряющей силы со скоростью, равной фазовой скорости кильватерной волны. Данная модель также может быть использована для исследования динамики поляризации пучка электронов, если число частиц  $N_e$  в сгустке относительно мало:  $N_e \ll N_0(c/\omega_{p0})^3$  [8, 14, 18]. При выполнении этого условия поле ускоряемого пучка электронов слабо влияет на структуру кильватерной волны, генерируемой лазерным импульсом (для обсуждаемой концентрации электронов плазмы  $N_0 = 10^{17} \text{ см}^{-3}$  указанное выше ограничение на число ускоряемых электронов таково:  $N_e \ll 5 \times 10^8$ ).

Работа выполнена при поддержке Российского научного фонда (проект №14-50-00124).

1. Moortgat-Pick G., Abe T., Alexander G., et al. *Phys. Rep.*, **460**, 131 (2008).
2. Ali Bagneid A. *Int. J. Mod. Phys. A*, **30**, 1550075 (2015).
3. Шатунов Ю.М. *Пучки поляризованных частиц в ускорителях и накопителях* (Новосибирск: Изд-во СО РАН, 2015).
4. Mane S.R., Shatunov Yu.M., Yokoya K. *J. Phys. G: Nucl. Part. Phys.*, **31**, 151 (2005).
5. Tajima T., Dawson J.M. *Phys. Rev. Lett.*, **43**, 267 (1979).
6. Modena A., Najmudin Z., Dangor A.E., et al. *Nature (London)*, **377**, 606 (1995).
7. Leemans W.P., Gonsalves A.J., Mao H.-S., et al. *Phys. Rev. Lett.*, **113**, 245002 (2014).
8. Andreev N.E., Kuznetsov S.V. *IEEE Trans. Plasma Sci.*, **36**, 1765 (2008).
9. Andreev N.E., Chizhonkov E.V., Gorbunov L.M. *Russ. J. Numer. Anal. Math. Modelling*, **13** (1), 1 (1998).
10. Andreev N.E., Gorbunov L.M., Kirsanov V.I., Nakajima K., Ogata K. *Phys. Plasmas*, **4**, 1145 (1997).
11. Mora P., Antensen T.M. *Phys. Plasmas*, **4**, 217 (1997).
12. Andreev N.E., Nishida Y., Yugami N. *Phys. Rev. E*, **65**, 056407 (2002).
13. Sprangle P., Esarey E., Ting A. *Phys. Rev. Lett.*, **64**, 2011 (1990).
14. Andreev N.E., Kuznetsov S.V., Pogorelsky I.V. *Phys. Rev. Spec. Top. Accel. Beams*, **3**, 021301 (2000).
15. Bargmann V., Michel L., Telegdi V.L. *Phys. Rev. Lett.*, **2**, 435 (1959).
16. Glinec Y., Faure J., Lifschitz A., Vieira J.M. *Europhys. Lett.*, **81**, 64001 (2008).
17. Vieira J., Huang C.-K., Mori W.B., Silva L.O. *Phys. Rev. Spec. Top. Accel. Beams*, **14**, 071303 (2011).
18. Ferrario M., Katsouleas T.C., Serafini L., et al. *IEEE Trans. Plasma Sci.*, **28**, 1152 (2000).